2U34U4U5 UUD 4FSDFFBOF66FF U4U46UFU3F S6Q64U4FP ИЗВЕСТИЯ АКАДЕМИИ НАУК АРМЯНСКОЙ ССР

Зիզիկа-бырьбым, գիмпърјагббыт Х. № 3, 1957 Физико-математические науки

АСТРОФИЗИКА

М. А. Аракелян

Кривая роста для поздних В-звезд главной последовательности

Эффективным средством исследования звездных атмосфер является метод построения и изучения кривой роста, т. е. зависимости полных поглощений в спектральных линиях определенного элемента (данной степени ионизации) от оптической глубины в центре линии. При этом удобно выражать полные поглощения в единицах длин волн, т. е. изучать зависимость:

$$\frac{W}{\lambda} = F(X_0), \qquad (1)$$

где

$$X_0 = \frac{\sqrt{\pi} e^2}{m \cdot c^2} \cdot \frac{\lambda^2}{\Delta \lambda_D} N_n H f \qquad (2)$$

отпическая толща в центре линии. В уравнении (2) $\Delta \lambda_D$ — допплеровская полуширина спектральной линии, f — сила осциллятора, $N_n H$ — число атомов данного элемента над единичной площадкой фотосферы звезды, находящихся на нижнем энергетическом уровие, соответствующем данной линии. Остальные обозначения имеют общепринятый смысл. В общем случае зависимость (1) имеет довольно сложный вид и может быть вычислена только численно. Однако известен [1, 2] ряд простых приближений, имеющих практический интерес.

1. Для слабых линий ($X_0 < 1$) имеем:

$$\frac{W}{\lambda} = V \pi \cdot \frac{v}{e} \cdot X_0, \tag{3}$$

где

$$v = \frac{\Delta \lambda_D}{\lambda} c. \tag{4}$$

Очевидно, что в случае слабых линий имеет место схема оптически тонкого слоя и эквивалентная ширина линий растет пропорционально числу поглощающих атомов.

2. Для сильных линий $(X_0 \gg 1; \ln X_0 > 1)$:

$$\frac{W}{V} = 2 \frac{v}{c} \cdot \sqrt{\ln X_0}. \tag{5}$$

В этом случае эквивалентная ширина линии зависит от числа поглощающих атомов очень слабо.

Для очень сильных линий эффектом Допплера в коэффициенте поглощения можно пренебречь и приобретает большое значение расширение спектральных линий вследствие затухания:

$$\frac{W}{\lambda} = \frac{\pi^{i_1}}{2} \cdot \left(\frac{v}{c}\right)^{i_2} \left(X_0 \cdot \frac{\Gamma}{v_0}\right)^{i_2}, \tag{6}$$

где Г-постоянная затухания.

Если, воспользовавшись формулой Больцмана, перейти от числя поглощающих атомов на данном энергетическом уровне к полному числу атомов элемента данной степени ионизации — N_0H , то вместо (2) можно написать:

$$X_{0} = \frac{\sqrt{\pi \cdot e^{2}}}{m \cdot c^{2}} \cdot \frac{c}{v} \cdot \frac{N_{0}H}{b(T_{B})} g_{n} \lambda f \cdot e^{-\frac{E_{n}}{kT_{B}}}$$

$$(7)$$

где $g_n = 2J + 1$ — статистический вес нижнего уровия,

 $b(T_B) = \Sigma \, g_n e^{-rac{E_n}{kT_B}}$ -сумма по состояниям, T_B — температура возбуждения.

Величина X_0 была бы независимой от длины волиы, если бы оптическая глубина в непрерывном спектре не менялась с частотой. Однако, благодаря зависимости коэффициента непрерывного поглощения от длины волны, эффективная оптическая глубина ф тосферы также зависит от λ . Это приводит к зависимости числа атомов над фотосферой от длины волны. Так как непрерывное поглощение в исследуемых звездах обусловлено в основном нейтральным водородом, мы будем считать, что:

$$(N_0 H)_{\lambda} = (N_0 H)' \left(\frac{\lambda'}{\lambda}\right)^3, \tag{8}$$

где λ' — какая-то стандартная длина волны. Примем ее равной 5000Å. Таким образом, получим:

$$X_0 = \frac{\sqrt{\pi \cdot e^2}}{m \cdot c^2} \cdot \frac{c}{v} \cdot \frac{(N_0 H)'}{b(T_B)} \cdot \left(\frac{\lambda'}{\lambda}\right)^3 \cdot \lambda g_n f \cdot e^{-\frac{E_A}{kT_B}}.$$
 (9)

Вместо зависимости (1) можно построить кривую роста вида:

$$\frac{W}{\lambda} = F(X'), \tag{10}$$

где

$$X' = g_n \frac{(\lambda')^3}{\lambda^2} \cdot f \cdot e^{-\frac{E_n}{kT_B}}.$$
 (11)

Далее, передвижением полученной зависимости параллельно оси $\lg X'$ можно добиться наилучшего совпадения с одной из теоретических кривых роста, вычисленных для определенных значений $\Delta \lambda_D$ и $\Delta \lambda_N = \frac{\Gamma}{4\pi}$ и зафиксировать, таким образом, нуль-пункт кривой роста.

Из приведенных выше формул (3), (5) и (6) следует, что эквивалентная ширина линий поглощения пропорциональна оптической глубине в их центрах только в области очень слабых линий. При больших значениях оптической глубины изменениям последней соответствуют очень незначительные изменения эквивалентных ширин линий. В 1944 г. Г. А. Шайн [3] обратил внимание на тот факт, что в результате указанного явлення компоненты спектральных мультиплетов могут иметь в звездных спектрах относительные интенсивности, отличные от таковых, вычисленных теоретически. Действительно, так как оптическая глубина в линиях пропорциональна их теоретическим интенсивностям, то относительные интенсивности компонент будут пропорциональны теоретическим только в области очень малых глубии. Если же компоненты мультиплета находятся на части кривой роста, соответствующей уравнению (5), то отношение их интенсивностей может быть достаточно близким к единице. Следовательно, если в числе линий, используемых для определения лучевых скоростей, имеются неразрешенные мультиплеты, то при определении их стандартных длин воли необходимо вычислять их взвещенное среднее с учетом относительных интенсивностей, обусловленных кривой роста. Как указывает Г. А. Шайн, если не принимать во внимание это явление, лучевые скорости будут искажены систематическими ошибками.

Нами была предпринята попытка оценить ошибки указанного характера в лучевых скоростях поздних В-звезд главной последовательности.

Для построения кривой роста для этих звезд мы воспользовались измерениями полных поглощений в линиях нейтрального гелия, произведенных Э. Виллиямс [4] и П. Рудником [5]. Величины X' определены с помощью сил осцилляторов, вычисленных Л. Гольдбергом [6]. В табл. 1 приведен список линий Hel, использованных при построении кривой роста.

Четвертая графа таблицы содержит потенциалы возбуждения нижних уровней соответствующих линий в электрон-вольтах.

Ранее Л. Гольдберг [7] построил кривые роста по линиям гелия для 55 звезд из списка Э. Виллиамс. Однако мы считаем более целе-сообразным построить среднюю кривую роста для группы звезд, так как благодаря малочисленности линий гелия индивидуальные кривые роста для отдельных звезд едва ли будут достаточно точны. В частвости, для оценки эффекта кривой роста на стандартные длины воли нейтрального гелия необходимо иметь именно среднюю кривую роста для группы звезд. Кроме того, указанную работу имеет смысл повто-

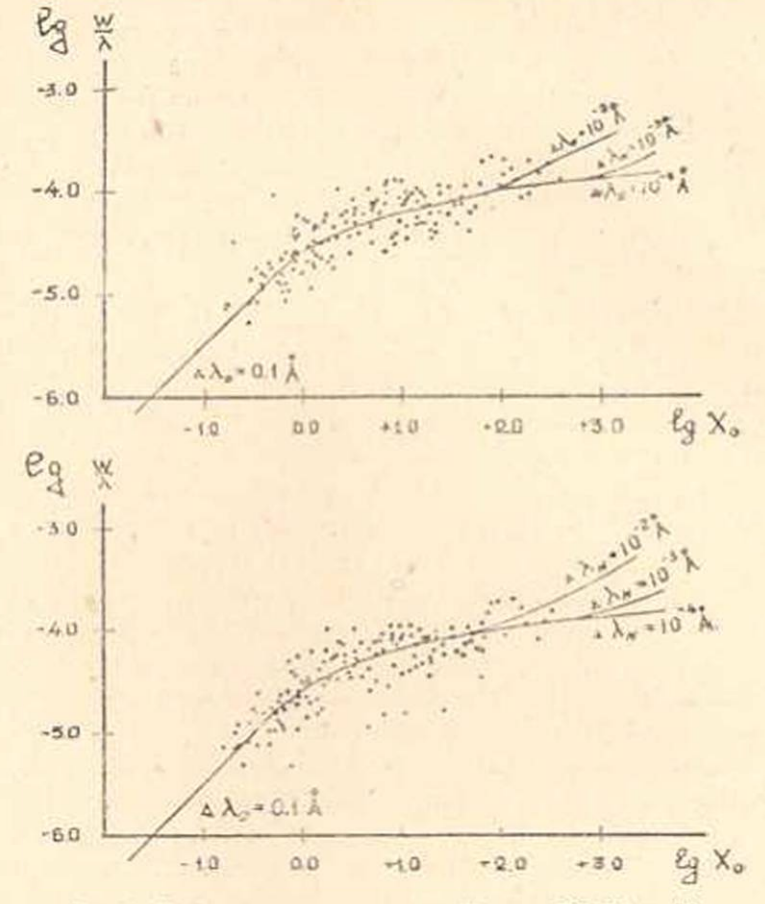
20000		Таблица 1			
Vê Vê	λ	Термы	E. P.	lg f	lg X'
1	4471,477	23 P—43 D	20,87	-0,889	-14.575
2	4026.189	23 P-53 D	20.87	-1.291	-14.885
3	3819,606 ,761	28 P—53 D	20.87	-1.585	-15,133
4	4921.921	21 P-41 D	21.13	-0.928	-15.303
5	4387.928	21 P-51 D	21.13	-1.381	-15.656
6	4143,759	21 P-61 D	21.13	-1.701	-15.926
7	4009,270	21 P-71 D	21.13	-1.951	-16.128
8	3926.530	21 P-81 D	21.13	-2.159	-16.331
9	3871.819	21 P-91 D	21.13	-2.328	-16.495
10	4713.143 .373	23 P-43 S	20.87	-2.247	-15.977
11	4120.812 .993	23 P-53 S	20,87	-2,712	-16,326
12	3867.477 .631	$2^3 P - 6^3 S$	20,87	-3.004	-16.56

рить, так как в настоящее время имеется более полная таблица сил осцилляторов для нейтрального гелия [6].

При вычислении X' мы приняли, что температура возбуждения исследуемых звезд равна 10000° , так как из исследования Солнца и других звезд известно [2,8], что температуры возбуждения систематически ниже эффективных температур. Заметим, что возможная ошибка в принятой величине T_B не может заметно сказаться на построенной кривой роста, так как потенциалы возбуждения сингулетной и триплетных серий гелия, как это видно из табл. 1, отличаются всего лишь на $0.26\ eV$.

Для построения средней кривой роста из списков Э. Виллиамс и П. Рудника было выбрано 20 звезд спектральных подклассов B7, B8 и B9 главной последовательности. Построенные для них кривые роста были сдвинуты параллельно оси $\lg X'$ до наилучшего совпадения друг с другом. Указанная операция была произведена двумя лицами для выявления возможной субъективной ошибки. Как видно из приведенных ниже на фигуре кривых роста, ими был получен практически одинаковый результат. На этой же фигуре сплошной линией нанесена теоретическая кривая роста, вычисленная О. А. Мельниковым [2] для $\Delta \lambda_D = 0.1 \, \text{Å} \,$ и $\Delta \lambda_N = 10^{-2} \, \text{Å}, \, 10^{-3} \, \text{Å} \,$ и $10^{-4} \, \text{Å}$. Как видим, она достаточно хорошо представляет кривую роста, полученную нами из наблюдений.

Была сделана попытка оценить с помощью полученной кривой роста относительные интенсивности компонент триплетов №№ 1, 2, 10 и 11 из табл. 1, рекомендованных Международным Астрономическим Союзом в качестве стандартов для измерения лучевых скоростей. Теоретическое отношение интенсивностей внутри этих триплетов, как



Фиг. 1. Средная кривая роста для 20 звезд В7, В8 и В9 главной последовательности.

известно, равно 5:3:1. Благодаря слиянию термов $2^{8}P_{2}$ и $2^{8}P_{1}$ можно рассматривать их как дуплеты с отношением интенсивностей 8:1.

Для определения относительных интенсивностей компонент этих мультиплетов в звездных спектрах мы использовали средние эквивалентные ширины соответствующих линий для всей группы звезд. С их помощью из кривой роста определялись значения $X_{\mathfrak{g}}$, соответствующие этим компонентам. Затем, снова входя в кривую роста, определяли значения $\frac{W'}{\lambda}$ н $\frac{W''}{\lambda}$.

Для указанных выше мультиплетов №№ 1, 2, 10 и 11 было получено соответственно:

$$\frac{W'}{W''}$$
 = 1.8, 1.6, 6.5, 7.2.

Как видим, в случае линий второй побочной серии относительные интенсивности компонент близки к теоретическим, в то время как компоненты первой побочной серии имеют почти равные эквивалентные ширины. Спектрографы, используемые для измерения лучевых скоростей, имеют разрешающую силу, слишком малую, чтобы разделить столь близкие компоненты. Поэтому для установления стандартных длин волн необходимо брать взвешенные средние из длин волн компонент с учетом относительных интенсивностей, полученных из кривой роста. Ниже мы приводим полученные нами длины волн указанных мультиплетов и ошибку, вводимую при использовании стандартов, рекомендованных Международным Астрономическим Союзом:

$$\lambda$$
 4471.553 4026.255 4713.174 4120.834
 ΔV_r + 5.10 km/cek + 4.92 km/cek + 1.91 km/cek + 1.60 km/cek.

Необходимо отметить, что влияние кривой роста на относительную интенсивность компонент может быть направлено только в сторону усиления слабой компоненты. Следовательно, верхним пределом отношения интенсивностей (в смысле отношения сильной компоненты к слабой) является теоретическое значение последнего, а нижним—единица. Поэтому в случаях, когда эффект кривой роста неизвестен, необходимо брать для длины волны мультиплета взвешенное среднее из длин волн компонент, используя теоретическое отношение интенсивностей. Этим ошибка стандартной длины волны может быть только уменьшена. Ничем не оправдан поэтому тот факт, что в списке стандартных длин волн, рекомендованных Международным Астрономическим Союзом, приведены длины волн сильных компонент.

Если даже считать, что длины воли всех остальных компонент не искажены эффектом кривой роста и учесть, что лучевые скорости поздних В-звезд определяются по 10—12 линиям, то только ошибки длин воли четырех линий гелия исказят среднюю лучевую скорость этих звезд на 1.0—1.3 км/сек. Эта величина может ошибочно трактоваться как К-эффект исследуемой группы ззезд.

Далее, по кривой роста нами были определены некоторые физические параметры поздних В-звезд главной последовательности. Из сравнения наблюдаемой и теоретической кривых роста была получена средняя скорость хаотического движения атомов гелия:

$$v = \frac{\Delta \lambda_D}{\lambda} c \approx 7 \frac{\kappa M}{ce\kappa}$$

Заметим, что полученияя скорость совпадает с термической скоростью, соответствующей эффективной температуре звезд типа B8 ($T_e = 12600^\circ$)

$$v = \sqrt{\frac{2kT_e}{\mu}} \approx 7 \frac{\kappa M}{ce\kappa},$$

где k-постоянная Больцмана, а µ-атомный вес.

Известно [8], что для звезд-сверхгигантов получается систематическая разница между скоростями, полученными по кривым роста, и термическими скоростями, соответствующими их температурам. Это расхождение объясняется наличием турбулентных движений в атмосферах сверхгигантов. Как видим, в атмосферах звезд главной последовательности такие движения отсутствуют.

Оценить постоянную затухания для исследуемых звезд нам, к сожалению, не удалось, так как на полученной кривой роста отсутствует область, обусловленная этим параметром.

Произведена оценка числа атомов в столбе атмосферы сечением в 1 см². Из уравнений (9) и (11) имеем:

$$\lg X_0 - \lg X' = \lg \frac{\sqrt{\pi} e^2}{m \cdot c^2} - \lg \frac{v}{c} + \lg \frac{(N_0 H)'}{b (T_B)}. \tag{12}$$

Величины $\lg X_0 - \lg X'$ и $\lg v$ нам известны из сравнения полученной кривой роста с теоретической. Таким образом, для уровней 2^1P и 2^3P из уравнения (12) и формулы Больцмана получим $\lg (N, H) = 14.0$ и 14.5.

В заключение приношу свою глубокую благодарность проф. О. А. Мельникову, руководившему настоящей работой.

Бюраканская астрофизическая обсерватория АН Армянской ССР

Поступило 5 IX 1956

Մ. Ա. Առաթելյան

ԱՃՄԱՆ ԿՈՐԸ ԳԼԽԱՎՈՐ ՀԱՂՈՐԴԱԿԱՆՈՒԹՅԱՆ ՈՒՇ *B*-ԱՍՏՂԵՐԻ ՀԱՄԱՐ

цифпфпри

Ձեղոք ծելիումի գծերի միջոցով կառուցված է աճման միջին կորը գրըխավոր ծաջորդականության ուշ B-աստղերի մի խմբի ծամար Ուսուննասիրված է աճման կորի՝ Գ. Ա. Շայնի կողմից նշված ազդեցությունը ծելիումի
արիպլետների ստանդարտ ալիքային երկարությունների վրա։ Ցույց է տրված,
որ երկրորդ կողմնակի սերիայի դծերի դեպքում կոմպոնենաների հարաբերական ինտենսիվությունները մոտ են տեսականներին, մինչդես առաջին կողմնակի սերիայի դծերի դեպքում այդ ինտենսիվությունները զգալիորեն տարանրվում են նրանցից։ Ձեղոք ծելիումի չորո գծերի (4472Å, 4026Å, 4713Å,
4121Å) ստանդարտ ալիքային երկարությունների ոչ ճշղրիտ լինելու պատճառով տռաջացած միջին սիայը ծամապատասխանում է տեսադժային արադություն սիային՝ 1.0—1.3 կմչվրկ։ Այդ արժեքը նույն կարգի մեծություն է,
ինչ որ Ա-էֆեկտը ուսումնասիրված աստղերի ծամար, ուստի նրա ճաշվաոռումը խիստ անհրաժեշտ է։

Անժան կորի միջոցով դնահատված է հելիումի քաստիկ շարժման միջին արադութվունը հիշլալ աստղերի մխնոլորտներում։ Ստացված մեծութվունը (v≈7կմ/վրկ) համընկնում է B8 դասի աստղերի էֆեկտիվ ջերժաստիճանին համապատասիանող ջերժային արագութվանը։ Հետևարար, ուսումնասիրված աստղերի մխնոլորտներում բացակայում են դազային զանդվուծների տուրրուլինա շարժումները։ Անման կորից ստացված չեղոք հելիումի ատոմների։ Թիվը մինոլորտի 1 ամ² հատվածք ունեցող սյան մեջ 2¹P և 2²P մակարդակների համար համապատասխանորհն հավասար է 10^{14,2} և 10^{14,5}։

ЛИТЕРАТУРА

- 1. Menzel D. Ap. J. 84, 462 (1936).
- 2. Мельников О. А. Успехи астр. наук, 5, 306, (1950).
- 3. Шайн Г. А. ДАН СССР, 45, 57, (1944).
- 4. Villiams E. Ap. J. 83, 279, (1936).
- 5. Rudnick P. Ap. J. 83, 439, (1936).
- 6. Goldberg L. Ap. J. 93, 244, (1941).
- 7. Goldberg L. Ap. J. 89, 623, (1939).
- 8. Мельников О. А. Уч. зап. ЛГУ, 153, 80, (1952).

